

О стойкости релятивистской квантовой криптографии в открытом пространстве при конечных ресурсах

C. Н. Молотков

Академия криптографии РФ, 103025 Москва, Россия

Институт физики твердого тела РАН, 142432 Черноголовка, Россия

Факультет вычислительной математики и кибернетики, МГУ им. Ломоносова, 119991 Москва, Россия

Поступила в редакцию 1 июня 2012 г.

После переработки 10 июля 2012 г.

Секретность ключей для базового нерелятивистского протокола BB84 исследовалась более полутура десятков лет. Только недавно было получено простое доказательство секретности в случае однофотонного источника квантовых состояний и конечных последовательностей с использованием энтропийных соотношений неопределеностей. Однако на сегодняшний день источники состояний не являются строго однофотонными. Неоднофотонность вместе с заранее неизвестными и меняющимися потерями в квантовом канале – открытом пространстве – приводит к тому, что нерелятивистские системы квантовой криптографии в открытом пространстве не могут гарантировать безусловную (*unconditional*) секретность ключей. Предложенная недавно релятивистская квантовая криптография снимает принципиальные ограничения, связанные с неоднофотонностью источника и потерями в открытом пространстве. Исследована стойкость принципиально нового семейства протоколов релятивистского квантового распределения ключей через открытое пространство в реальной ситуации конечных длин передаваемых последовательностей квантовых состояний. Данная система оказывается стойкой при реальных источниках неоднофотонных состояний (ослабленном лазерном излучении) и произвольных потерях в открытом пространстве.

Введение. Секретность ключей в квантовой криптографии гарантируется фундаментальными запретами квантовой механики [1, 2]. Основная мотивация использования дополнительных фундаментальных релятивистских ограничений в квантовой криптографии [3] для открытого пространства связана с тем, что все протоколы, секретность которых базируется только на ограничениях квантовой механики, не могут гарантировать секретности ключей при неоднофотонном источнике, больших и заранее не известных потерях в квантовом канале связи [4]. Релятивистская квантовая криптография гарантирует секретность ключей при любых потерях (любой дальности [5]).

Другая проблема со всеми базовыми протоколами, включая BB84 [6], связана с их уязвимостью по отношению к атаке с “ослеплением” детекторов [7]. Это было продемонстрировано как для оптоволоконных систем, так и для систем в открытом пространстве [8]. Релятивистская квантовая криптография оказывается устойчивой и к атаке с “ослеплением” фотодетекторов [9]. Стойкость базовых протоколов квантового распределения ключей в асимптотическом пределе бесконечно длинных последовательностей была доказана в ряде работ [10, 11]. В реальной ситуации длина передаваемой последовательности всегда конечна. Доказательство стойкости при

конечных ресурсах (длине последовательности) было недавно дано в работах [12, 13] для базового протокола BB84.

Принципиальное отличие релятивистской квантовой криптографии от систем нерелятивистской квантовой криптографии связано с тем, что в последних важны только геометрические свойства квантовых состояний, точнее неортогональность информационных состояний фотонов. Пространственно-временная структура и факт распространения состояний с предельно допустимой скоростью света в пространстве-времени Минковского никак не используется.

В релятивистском случае принципиально важна пространственная протяженность состояний в пространстве-времени. Из-за нормировки квантового состояния вероятность исхода в некоторой пространственно-временной области для любого измерения не может превышать долю нормировки, которая набирается в этой области. Доступ к области пространства-времени, в которой сосредоточено квантовое состояние, из-за существования предельной скорости света требует конечного времени. Это неизбежно приводит к задержкам при подслушивании передаваемых состояний [5].

Анализ секретности ключей в квантовой криптографии фактически сводится к установлению коли-

чественной связи между возмущением квантовых состояний, приводящим к ошибкам на приемной стороне, и информацией, которую получает подслушатель, производя данные возмущения. На решение данной задачи, которая является крайне нетривиальной, было затрачено немало усилий теоретиков [2, 4, 6, 10–14]. С момента появления протокола BB84 [6], всем интуитивно было понятно, что секретность протокола базируется на невозможности безошибочного измерения неортогональных состояний, которая, в свою очередь, гарантируется соотношениями неопределенностей. Однако установить данную связь явно и в прозрачной форме долгое время не удавалось. В значительной степени это было связано с тем, что соотношения неопределенностей в форме Гайзенберга–Робертсона [15, 16] не имеют теоретико-информационной интерпретации. Поэтому они неприменимы к доказательству секретности.

Совсем недавно связь между секретностью ключей для протокола BB84 и энтропийными соотношениями неопределенностей [17–22] была установлена в явной форме сначала в асимптотическом пределе бесконечно длинных последовательностей, а затем для реалистического случая – конечных передаваемых последовательностей [13].

Основными величинами, фигурирующими в доказательстве [13], являются так называемые сглаженные условные энтропии Ренни для составных квантовых систем¹⁾ нулевого (минимальная – max, $H_{\max}^{\varepsilon}(A|B)$) и бесконечного (максимальная – min, $H_{\min}^{\varepsilon}(X|B)$) порядков [13]. Данные энтропии имеют прозрачный операционный смысл [23], если одна из подсистем, например A , является классической битовой строкой X и $\varepsilon \rightarrow 0$. Тогда $H_{\min}^{\varepsilon}(X|B)$ равна числу случайных равномерно распределенных бит, которые можно получить из строки X и которые теперь никак не коррелированы с подсистемой B . Аналогично $H_{\max}^{\varepsilon}(X|B)$ равна минимальному числу бит, которых не хватает пользователю, обладающему подсистемой B , чтобы полностью узнать битовую строку X , не имея к ней прямого доступа.

В длину секретного ключа входят (см. ниже) величина $H_{\min}^{\varepsilon}(X|E)$, где X – битовая строка Алисы (передающая сторона), E – квантовая система подслушивателя (Евы), и величина $H_{\max}^{\varepsilon}(X|B)$, где B – квантовая система на приемной стороне (Боб). Наиболее сложной для вычисления является величина $H_{\min}^{\varepsilon}(X|E)$. Обе упомянутые величины входят в соотношения неопределенностей, что и позволяет на-

прямую связать длину секретного ключа с энтропийными соотношениями неопределенностей.

В релятивистском случае ограничения на различимость состояний, диктуемые соотношениями неопределенностей, оказываются более мягкими, чем ограничения, связанные с релятивистской причинностью. Соображения, связанные с релятивистской причинностью, позволяют получить нижнюю границу для величины $H_{\min}^{\varepsilon}(X|E)$, которая определяет недостаток информации Евы о битовой строке X , простым способом.

Ниже будет приведено доказательство секретности релятивистской квантовой криптографии в реальной ситуации конечных длин передаваемых последовательностей как для однопроходной реализации с синхронизацией часов на передающей и приемной сторонах [5], так и для двухпроходной, когда синхронизация часов (общего начала отсчета времени) не требуется [5].

Min и max энтропии. Наиболее адекватным и удобным является использование так называемых min и max сглаженных квантовых энтропий (энтропии Ренни бесконечного и нулевого порядка [14]). Данные величины являются обобщением энтропий Шеннона в классическом случае и фон Неймана в квантовом и имеют прозрачную теоретико-информационную интерпретацию [23]. Они удобны, когда истинная матрица плотности точно не известна, но известно, что в определенном смысле (метрике) матрица плотности близка к истинной. Именно такая ситуация имеет место в квантовой криптографии, когда матрица плотности оценивается по конечной последовательности измерений. По определению min и max энтропий имеем (подробности см. в [14])

$$\begin{aligned} H_{\min}(A|B) &= -\sup_{\sigma_B} \log \lambda, \\ H_{\max}(A|B) &= \sup_{\sigma_B} \log \{\text{Tr}[\rho_{AB}^0(I_A \otimes \sigma_B)]\}, \end{aligned} \quad (1)$$

где λ – минимальное число, при котором оператор $\lambda I_A \otimes \sigma_B - \rho_{AB} > 0$. Здесь σ_B и ρ_{AB} – матрицы плотности, действующие в \mathcal{H}_B и $\mathcal{H}_A \otimes \mathcal{H}_B$, I_A – единичный оператор в \mathcal{H}_A , $\rho_{AB}^0 = \text{supp}(\rho_{AB})$ – проектор (носитель матрицы плотности) на пространство, где действует оператор ρ_{AB} . По определению [14] сглаженные min и max квантовые энтропии равны

$$\begin{aligned} H_{\min}^{\varepsilon}(A|B) &= \sup_{\bar{\rho}_{AB} \in \mathcal{B}^{\varepsilon}(\rho_{AB})} H_{\min}(A|B)_{\bar{\rho}_{AB}}, \\ H_{\max}^{\varepsilon}(A|B) &= \inf_{\bar{\rho}_{AB} \in \mathcal{B}^{\varepsilon}(\rho_{AB})} H_{\max}(A|B)_{\bar{\rho}_{AB}}, \end{aligned} \quad (2)$$

где точные верхняя и нижняя грани берутся по всем матрицам плотности $\bar{\rho}_{AB}$, находящимся в шаре

¹⁾ Квантовая система состоит из двух подсистем, A и B , вообще говоря находящихся в запутанном коррелированном состоянии.

$\mathcal{B}^\varepsilon(\rho_{AB})$ радиуса ε с центром в ρ_{AB} , $\mathcal{B}^\varepsilon(\rho_{AB}) = \{\bar{\rho}_{AB} : \|\rho_{AB} - \bar{\rho}_{AB}\|_1 \leq \text{Tr}\{\bar{\rho}_{AB}\} \cdot \varepsilon\}$. Удобной мерой близости между парой матриц плотности является следовое расстояние [14]:

$$d_1(\rho, \bar{\rho}) = \frac{1}{2} \|\rho - \bar{\rho}\|_1 = \frac{1}{2} \text{Tr}[|\rho - \bar{\rho}|] = \frac{1}{2} \text{Tr}[\sqrt{(\rho - \bar{\rho})^2}]. \quad (3)$$

Для дальнейшего нам потребуется еще одна величина, описывающая меру близости между матрицами плотности, соответствие (*fidelity*). При этом имеют место соотношения (см., например, [24])

$$\begin{aligned} F(\rho, \bar{\rho}) &= \text{Tr}[\sqrt{\rho \sqrt{\bar{\rho}}}], \\ 1 - F(\rho, \bar{\rho}) &\leq d_1(\rho, \bar{\rho}) \leq \sqrt{1 - F^2(\rho, \bar{\rho})}. \end{aligned} \quad (4)$$

Критерий стойкости при конечных ресурсах. После измерений ситуация описывается матрицей плотности ρ_{XYE} , где битовые строки Алисы и Боба $X, Y = \{0, 1\}^n$. Корреляции между Алисой (X) и Бобом (Y) описываются совместной функцией распределения $\rho_{XYE} = \sum_{x,y} \rho_E^{xy} |x\rangle\langle x| \otimes |y\rangle\langle y|$, $\rho_{XY} = \sum_{x,y} P_{XY}(x, y) |x\rangle\langle x| \otimes |y\rangle\langle y|$, $P_{XY}(x, y) = \text{Tr}_E\{\rho_E^{xy}\}$, ρ_E^{xy} – корреляции между X , Y и Евой, которые заключены в квантовой системе Евы. Под стойкостью понимается корректность и секретность протокола распределения ключей [14]. Протокол ε_{EC} корректен, если после исправления ошибок вероятность того, что битовая строка Алисы x отличается от битовой строки Боба \hat{x} , оказывается не более ε_{EC} . Протокол Δ скретен, если после сжатия очищенного ключа $x \rightarrow z$. Здесь z – расстояние до идеальной ситуации, когда корреляции между ключом легитимных пользователей и квантовой системой Евы

$$\begin{aligned} \Pr[\hat{x} \neq x] &= d_1(\rho_{X\hat{X}}, \rho_{XX}) = d_1(P_{X\hat{X}}, P_{XX}) < \varepsilon_{EC}, \\ d_1(\rho_{ZFE}, \rho_{UZ} \otimes \rho_{FE}) &< \Delta, \end{aligned} \quad (5)$$

где $P_{X\hat{X}}$, P_{XX} – совместная функция распределения после коррекции ошибок, описывающая идеальные корреляции, ρ_{ZFE} и ρ_{UZ} – матрица плотности после сжатия очищенного ключа и матрица, отвечающая однородному распределению ключей. Оказывается, что критерии корректности и секретности протокола выражаются через слаженные *max* и *min* энтропии соответственно.

Корректность протокола, исправление ошибок. Исправление ошибок происходит через аутентичный открытый канал связи. Информация при обмене доступна Еве. Найдем связь утечки информации с параметром корректности (5). Исправление ошибок можно рассматривать как хэширование.

Этот подход развивался в [25], а применительно к квантовой криптографии – в [14]. Алиса, имея битовую строку x , вычисляет хэш-значение $z = f(x)$. При этом хэш-функции выбираются открыто, случайно и равновероятно из множества универсальных хэш-функций второго порядка [26], которые обладают тем свойством, что вероятность совпадения хэш-значений при несовпадающих значениях аргумента не более $f \in \mathcal{F} : X = \{0, 1\}^N \rightarrow Z = \{0, 1\}^k$, $\Pr_f[f(\hat{x}) = f(x)] \leq 1/|Z| = 2^{-k}$, $\hat{x} \neq x$. Алиса сообщает через открытый канал Бобу $(f, f(x))$. Поскольку выбор хэш-функции является открытым, число бит дополнительной информации, доступное Еве, есть число бит для сообщения хэш-значения $f(x)$, т.е. k бит. Утечка информации leak_{EC} в битах равна k . Утечка информации выражается через *max* энтропию (детали см. в [14]):

$$\begin{aligned} k &= \text{leak}_{EC} \leq H_{\max}(P_{XY}|Y) + \log 1/\varepsilon_{EC}, \\ H_{\max}(P_{XY}|Y) &= \log \max_{y \in Y} |\text{supp}(P_X^y)|. \end{aligned} \quad (6)$$

Макс энтропия вычисляется по распределению $P_{XY}(x, y)$, где $\hat{\mathcal{X}}_y = \text{supp}(P_X^y)$ – множество значений y , в которые могут перейти различные x . Соответственно $|\text{supp}(P_X^y)|$ – наибольшее число элементов по y и по x при всех x . Цель Боба, имея хэш-значение $z = f(x)$ от Алисы, найти такое $\hat{x}_y \in \hat{\mathcal{X}}_y = \text{supp}(P_X^y)$, у которого $f(\hat{x}_y) = f(x)$. Боб получает \hat{x} из своей битовой строки y , меняя 0 на 1 и наоборот в части позиций, число которых зависит от вероятности наблюдаемой ошибки. Фактически такая процедура сводится к перебору, но пока это не важно.

Ошибка при декодировании определяется вероятностью того, что существует такое $\hat{x}_y \in \hat{\mathcal{X}}_y = \text{supp}(P_X^y)$, не равное x , при котором хэш-значения $f(\hat{x}) = f(x)$. Имеем (см. также [14, 26])

$$\begin{aligned} \Pr[x \neq \hat{x}] &\leq \Pr_f[\exists x \in \hat{\mathcal{X}}_y = \\ &= \text{supp}(P_X^y), \hat{x} \neq x \wedge f(\hat{x}) = f(x)] \leq \\ &\leq |\text{supp}(P_X^y)| 2^{-k}. \end{aligned} \quad (7)$$

Из (6) видно, что $\max_y |\text{supp}(P_X^y)| = 2^{H_{\max}(P_{XY}|Y)}$. Получаем

$$\begin{aligned} \Pr[\hat{x} \neq x] &\leq \\ &\leq 2^{H_{\max}(P_{XY}|Y) - [H_{\max}(P_{XY}|Y) + \log(1/\varepsilon_{EC})]} \leq \varepsilon_{EC}. \end{aligned} \quad (8)$$

Истинная матрица плотности ρ_{XY} и распределение $P_{XY}(x, y)$ неизвестны. Их оценки $\bar{\rho}_{XY}$ и $\bar{P}_{XY}(x, y)$ возникают при подсчете числа наблюдаемых ошибок. Если из этой оценки следует, что (см. ниже)

$$d_1[P_{XY}(x, y), \bar{P}_{XY}(x, y)] \leq \varepsilon_{EC}, \quad (9)$$

то, поскольку

$$H^{\varepsilon'}(P_{XY}|Y) = \min_{\overline{P}_{XY}(x,y) \in \mathcal{B}^{\varepsilon'}[P_{XY}(x,y)]} H(\overline{P}_{XY}|Y),$$

утечка информации для любого распределения $\overline{P}_{XY}(x,y)$ ε' -близкого к $P_{XY}(x,y)$, оказывается не более $\text{leak}_{EC} \leq H(\overline{P}_{XY}|Y) + \log(2/\varepsilon_{EC})$. В итоге утечка информации

$$\text{leak}_{EC} \leq H^{\varepsilon'}(P_{XY}|Y) + \log(2/\varepsilon_{EC}), \quad \varepsilon' = \varepsilon_{EC}/2 \quad (10)$$

(множитель 2 под логарифмом возникает из дополнительного фактора $1/2$ в определении следового расстояния, в отличие от расстояния в шаре).

Оценка параметров. Для двухпроходной схемы оцениваются два параметра: доля η задержанных отсчетов и вероятность ошибки Q . Для однопроходной схемы оценивается только вероятность ошибки. Сначала сделаем оценки для двухпроходной схемы. Примерно в половине случаев Ева ошибается, что приводит к задержке классического сигнала. Эти посылки отбрасываются. Примерно в половине она угадывает. Оценка $\overline{\eta}$ доли угаданных производится по доле ошибок. Это дает долю посылок с подменой классического сигнала. Вероятность того, что наблюдаемое число $\overline{\eta}$ превышает точное значение η на величину ξ , оказывается не более (данная оценка следует из вероятности больших уклонений; детали см. в [27])

$$\Pr[\overline{\eta} \geq \eta + \xi] \leq e^{-2n\xi^2} = \varepsilon_\xi^2. \quad (11)$$

Введем распределение $\overline{P}(X,Y)_{\overline{\eta},Q}$, которое дает $\overline{\eta} < \eta + \xi$ задержанных отсчетов и является ε_ξ -близким к истинному (лежит в шаре $\overline{P}(X,Y)_{\overline{\eta},Q} \in \mathcal{B}^{\varepsilon_\xi}[P(X,Y)_{\eta,Q}]$). Имеем

$$\begin{aligned} \overline{P}(X,Y)_{\eta,Q} &= P(X,Y)_{\eta,Q}/\Pr[\overline{\eta} < \eta + \xi], \quad \overline{\eta} < \eta + \xi; \\ \overline{P}(X,Y)_{\eta,Q} &= 0, \quad \overline{\eta} \geq \eta + \xi. \end{aligned} \quad (12)$$

Выражая следовое расстояние d_1 через соответствие (fidelity) (4) и учитывая, что

$$\Pr[\eta \geq \eta + \xi] + \Pr[\eta < \eta + \xi] = 1,$$

и

$$\begin{aligned} F[P(X,Y)_{\eta,Q}, \overline{P}(X,Y)_{\eta,Q}] &= \\ &= \sum_{\overline{\eta} < \eta + \xi} \sqrt{P(X,Y)_{\eta,Q} \overline{P}(X,Y)_{\eta,Q}} = \\ &= \sqrt{\Pr[\overline{\eta} < \eta + \xi]} = \sqrt{1 - \varepsilon_\xi^2}, \end{aligned}$$

получаем

$$\begin{aligned} d_1[P(X,Y)_{\eta,Q}, \overline{P}(X,Y)_{\eta,Q}] &\leq \\ &\leq \sqrt{1 - F^2[P(X,Y)_{\eta,Q}, \overline{P}(X,Y)_{\eta,Q}]} < \varepsilon_\xi. \end{aligned} \quad (13)$$

Отсюда следует, что распределения $P(X,Y)_{\eta,Q}$ и $\overline{P}(X,Y)_{\eta,Q}$ являются ε_ξ -близкими:

$$d_1[P(X,Y)_{\eta,Q}, \overline{P}(X,Y)_{\eta,Q}] \leq \varepsilon_\xi. \quad (14)$$

Следующий шаг состоит в оценке величины истинной вероятности ошибки по наблюдаемой в раскрытой части последовательности для распределения $\overline{P}(X,Y)_{\eta,Q}$. Пусть раскрываемая доля из N посылок есть ν , а не раскрываемая для ключа — $(1 - \nu)$. Тогда полная ошибка в последовательности $\overline{Q} = \nu Q_{\text{obs}} + (1 - \nu)Q_{\text{key}}$. По раскрытой части делается оценка вероятности ошибки. Согласно неравенству для вероятности уклонения наблюдаемого значения от истинного по выборке без возвращения (детали см. в [28]) получаем

$$\begin{aligned} \Pr[Q_{\text{key}} \geq \overline{Q} + \zeta] &\leq e^{-\frac{k n}{N} \frac{k}{k+1} \zeta^2} = \varepsilon_\zeta^2, \\ k &= \nu N, \quad n = (1 - \nu)N. \end{aligned} \quad (15)$$

Протокол не прерывается, если величина ошибки \overline{Q} не превосходит критической величины для протокола. Введем новое распределение вероятностей:

$$\begin{aligned} \widehat{P}(X,Y)_{\eta,\overline{Q}} &= \overline{P}(X,Y)_{\eta,Q}/\Pr[Q_{\text{key}} < \overline{Q} + \zeta], \\ Q_{\text{key}} < \overline{Q} + \zeta, \quad \widehat{P}(X,Y)_{\eta,Q} &= 0, \\ Q_{\text{key}} \geq \overline{Q} + \zeta. \end{aligned} \quad (16)$$

Данное распределение производит не более $\overline{Q} + \zeta$ ошибок при заданном значении $\overline{\eta}$. Аналогично анализу, сделанному выше (см. (12)–(14)), получаем, что распределения $\overline{P}(X,Y)_{\eta,Q}$ и $\widehat{P}(X,Y)_{\eta,Q}$ являются ε_ζ -близкими:

$$d_1[\overline{P}(X,Y)_{\eta,Q}, \widehat{P}(X,Y)_{\eta,Q}] \leq \varepsilon_\zeta. \quad (17)$$

Для расстояния между истинным и эмпирическим распределениями с учетом (16), (17) имеем

$$\begin{aligned} d_1[P(X,Y)_{\eta,Q}, \widehat{P}(X,Y)_{\eta,Q}] &\leq \\ &\leq \sqrt{1 - F^2[P(X,Y)_{\eta,Q}, \widehat{P}(X,Y)_{\eta,Q}]} = \varepsilon_\zeta. \end{aligned} \quad (18)$$

Окончательно находим, что распределение $\widehat{P}(X,Y)_{\eta,Q}$ оказывается $\varepsilon_{\xi,\zeta} = \varepsilon_\xi + \varepsilon_\zeta$ -близким к истинному. Действительно, используя (14), (17), (18) и неравенство треугольника, имеем

$$\begin{aligned} d_1[P(X,Y)_{\eta,Q}, \widehat{P}(X,Y)_{\eta,Q}] &\leq \\ &\leq d_1[P(X,Y)_{\eta,Q}, \overline{P}(X,Y)_{\eta,Q}] + \\ &\quad + d_1(\overline{P}(X,Y)_{\eta,Q}, \widehat{P}(X,Y)_{\eta,Q}) \leq \varepsilon_{\xi,\zeta}. \end{aligned} \quad (19)$$

Определение утечки информации. Найдем величину $H_{\max}^{\varepsilon_{\xi,\zeta}}[P(X,Y)_{\eta,Q}|Y]$, определяющую согласно (10) утечку информации в битах при

коррекции ошибок в конечной последовательности. Фактически $H_{\max}[\overline{P}_{\eta,Q}(X,Y)|Y]$ равна логарифму произведения числа способов раскидать не более $nQ_{\text{key}} = n(\overline{Q} + \zeta)$ ошибок по n позициям. Величина $H_{\max}^{\varepsilon,\zeta}[P(X,Y)_{\eta,Q}]$ является точной нижней границей (в нашем случае минимумом) по всем распределениям в шаре $\overline{P}(X,Y)_{\eta,Q} \in \mathcal{B}^{\varepsilon,\zeta}[P(X,Y)_{\eta,Q}]$. Воспользовавшись неравенствами (см., например, [29]) $\sum_{k=0}^x \frac{n!}{(n-i)!i!} \leq 2^{nH(x)}$, получаем

$$\begin{aligned} H_{\max}^{\varepsilon,\zeta}[P(X,Y)_{\eta,Q}|Y] &\leq H_{\max}[\overline{P}_{\eta,Q}(X,Y)|Y] \leq \\ &\leq \log \left(\sum_{i=0}^{n_{\text{key}}} \frac{n!}{(n-i)!i!} \right) \leq nH(\overline{Q} + \zeta), \end{aligned} \quad (20)$$

где $H(x) = -x \log x - (1-x) \log(1-x)$, $\varepsilon_{\xi,\zeta} = (\varepsilon_\xi + \varepsilon_\zeta)/2$ для двухпроходной и $\varepsilon_{\xi,\zeta} = \varepsilon_\zeta/2$ для однопроходной схемы. Отметим, что доля $\overline{\eta}$ посылок, где Ева угадала момент посылки классического сигнала, “невидима” для легитимных пользователей, т.к. не дает ошибок.

Вычисление длины секретного ключа. После исправления ошибок происходит сжатие (усиление секретности – *privacy amplification* [30]) очищенного ключа до финального секретного ключа при помощи случайных универсальных хэш-функций второго порядка f [26]: $X = \{0,1\}^N \rightarrow Z = \{0,1\}^{l_{\text{secr}}}$ (множество хэш-функций F). Степень сжатия определяется слаженной *min* энтропией, которая зависит от протокола квантового распределения ключей. Согласно теореме о хэшировании (Leftover Hash [31]) расстояние до идеальной ситуации после сжатия становится равным

$$\begin{aligned} d_1(\rho_{FZEF}, \rho_{UZ} \otimes \rho_{EF}) &= \\ &= \frac{1}{2} \|\rho_{FZEF} - \rho_{UZ} \otimes \rho_{EF}\|_1 = \\ &= \Delta < \varepsilon + \frac{1}{2} \sqrt{2^{-[l_{\text{secr}} - H_{\min}^{\varepsilon}(X|EC)]}}. \end{aligned} \quad (21)$$

Матрица плотности после хэширования $\rho_{FZEF} = \sum_f \sum_z p_f |f\rangle\langle f| \otimes |z\rangle\langle z| \otimes \rho_E^{fz}$, где $\rho_E^{fz} = \sum_{x:f^{-1}(x)=z} \rho_E^x$, $p_f = 1/|F|$, $\rho_E^x = \sum_{z:x=f^{-1}(z)} \rho_E^z$. $\rho_{EF} = \text{Tr}_Z \{\rho_{FZEF}\}$ – матрица плотности Евы после хэширования, ρ_{UZ} – матрица плотности, отвечающая однородному распределению. Напомним, что здесь $\varepsilon = \varepsilon_\zeta$ для однопроходной и $\varepsilon = \varepsilon_\zeta + \varepsilon_\xi$ для двухпроходной схемы. Min энтропия, обусловленная классическими сообщениями C , есть (детали см. в [14]) $H_{\min}^{\varepsilon}(X|EC) \geq H_{\min}^{\varepsilon}(X|E) - \text{leak}_{EC}$. Если длина секретного ключа выбрана как

$$l_{\text{secr}} \leq H_{\min}^{\varepsilon}(X|E) - \text{leak}_{EC} - 2 \log(1/2\bar{\varepsilon}), \quad (22)$$

то расстояние до идеальной ситуации $\Delta < \varepsilon + \bar{\varepsilon}$. Остается оценить $H_{\min}^{\varepsilon}(X|E)$ до сжатия клю-

ча. При этом будут принципиально важны релятивистские ограничения. Поскольку $H_{\min}^{\varepsilon}(X|E) = \sup_{\overline{\rho}_{XE} \in \mathcal{B}^{\varepsilon}(\rho_{XE})} H_{\min}(X|E)_{\overline{\rho}_{XE}}$, для любого $\overline{\rho}_{XE} \in \mathcal{B}^{\varepsilon}(\rho_{XE})$ слаженная *min* энтропия не меньше чем $H_{\min}(X|E)_{\overline{\rho}_{XE}}$. Оценка для $\overline{\rho}_{XE}$ получается после стадии оценки параметров.

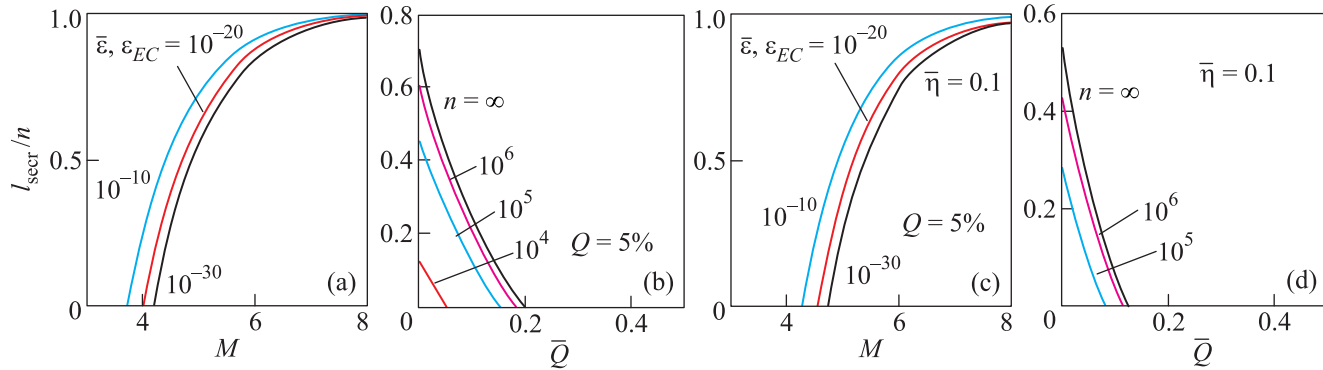
Однопроходная схема (детали см. в [5]). Часы синхронизированы. Алиса посыпает пару ослабленных когерентных состояний, отвечающих 0 и 1: $|\varphi_{0,1}\rangle = |e^{i\theta_A^{0,1}}\alpha\rangle_1 \otimes |\alpha\rangle_2$ ($|\alpha|^2 \ll 1$). Состояния $|e^{i\theta_A^{0,1}}\alpha\rangle_1$ и $|\alpha\rangle_2$ разнесены во времени. Фаза комплексного параметра α когерентного состояния в каждой посылке случайна. Второе состояние, $|\alpha\rangle_2$, служит реперным для первого [5]. Боб, зная момент посылки и расстояние, добавляет свою относительную фазу $|e^{i(\theta_A^{0,1}-\theta_B^{0,1})}\alpha\rangle_1$ на первую половинку, затем сводит состояния вместе и производит измерения. Отсчеты с задержкой по времени отбрасываются. Поскольку измерения с определенным исходом приводят к задержкам из-за необходимости доступа к обеим половинкам [5], оптимальной является атака со светоделителем [5]. Задержки при этом не возникают. При такой атаке информация Евы ограничена фундаментальной верхней границей информации, которую можно извлечь из квантового ансамбля $\{|\varphi_0\rangle, |\varphi_1\rangle\}$. Данная граница совпадает с границей Холево [32]. В нашем случае это означает, что к каждому биту x Алисы “привязано” состояние $|\varphi_{0,1}\rangle$, т.е. $\overline{\rho}_{XE} = \sigma_{XE}^{\otimes n}$, где $\sigma_{XE} = \frac{1}{2} \sum_x |x\rangle\langle x| \otimes |\varphi_x\rangle_{EE} \langle \varphi_x|$ ($x = 0, 1$). Используя неравенство для *min* энтропии от тензорного произведения [14], находим

$$\begin{aligned} H_{\min}^{\varepsilon}(X|E) &\geq H_{\min}(\sigma_{XE}^{\otimes n}|\sigma_E^{\otimes n}) = \\ &= n[H(\sigma_{XE}) - H(\sigma_E)] = n[1 - \overline{C}(\varphi_{0,1})], \end{aligned} \quad (23)$$

где $H(\sigma) = -\text{Tr}\{\sigma \log \sigma\}$ – энтропия фон Неймана, $\overline{C}(\varphi_{0,1}) = -\lambda_+ \log \lambda_+ - \lambda_- \log \lambda_-$ – классическая пропускная способность квантового канала связи со входным ансамблем $\{|\varphi_0\rangle, |\varphi_1\rangle\}$ ($\lambda_{\pm} = (1 \pm \lambda)/2$, $\lambda = |\langle\varphi_0|\varphi_1\rangle|$) [32]. Окончательно для длины ключа с учетом (21)–(23) получаем

$$\begin{aligned} l_{\text{secr}} &\leq n[1 - \overline{C}(\varphi_{0,1}) - H(\overline{Q} + \zeta)] - \log(2/\varepsilon_{EC}) - \\ &- 2 \log(1/2\bar{\varepsilon}), \text{ где } \varepsilon_{EC} = \varepsilon_\zeta. \end{aligned} \quad (24)$$

Двухпроходная схема [5]. Здесь синхронизации часов не требуется. Алиса посыпает в один из двух случайных моментов времени, t_0 или t_1 , пару интенсивных (классических) когерентных состояний, $|\varphi_{t_0,1}^{\text{clas}}\rangle = |\alpha_c\rangle_{t_0,1,1} \otimes |\alpha_c\rangle_{t_0,1,2}$ ($|\alpha_c|^2 \gg 1$), сдвинутых друг относительно друга так же, как и в однопроходной схеме. Боб регистрирует время прилета классического состояния в данной посылке и время между соседними посылками. Затем он ослабляет (пропус-



Зависимости отношения длины ключа к длине последовательности от логарифма длины переданной последовательности N ($M = \log_{10} N$) (а, б) и наблюдаемой доли ошибок \bar{Q} (б, д). Панели а, б относятся к однопроходной схеме, а с, д – к двухпроходной. Доля раскрываемой части последовательности для оценки параметров $\nu = 1/2$ ($n = k = \nu N$). Остальные параметры приведены на рисунке. Скалярное произведение информационных состояний $|\langle \varphi_0 | \varphi_1 \rangle| = 0.9$

кая, например, через сильно асимметричный свето-делитель) их до квазиднофотонного уровня, кодирует их (добавляет относительную фазу между парой состояний) и посыпает Алисе. Алиса также добавляет свою относительную фазу, компенсируя фазу Боба, и сводит половинки вместе, а затем регистрирует фотодетектором аналогично однопроходной схеме. Кроме того, Алиса фиксирует моменты посылки и прилета состояний. Задержанные состояния отбрасываются. Отбрасываются также и посылки, в которых состояние прибыло к Бобу не вовремя. В этой схеме, в отличие от однопроходной, Ева может попытаться угадать один из двух случайных моментов посылки классического состояния. Примерно в половине случаев Ева может угадать и пройти тест на задержку. Если доля таких посылок 2η , то она будет знать примерно η бит ключа (детали см. в [5]). Для остальной доли посылок оптимальной является стратегия, аналогичная однопроходной схеме. Оценка матрицы плотности дает $\bar{\rho}_{XE} = (\sigma_{XX})^{\otimes n\bar{\eta}} \otimes \sigma_{XE}^{\otimes n(1-\bar{\eta})}$ ($\sigma_{XX} = \frac{1}{2} \sum_x |x\rangle\langle x| \otimes |x\rangle_{EE}\langle x|$). Первый сомножитель отражает тот факт, что Ева достоверно знает бит Алисы–Боба в $n\bar{\eta}$ посылках. Консервативно считаем, что все эти посылки сосредоточены в нераскрываемой при коррекции ошибок части последовательности, фигурирующей в очищенном ключе. Для минимума энтропии имеем

$$H_{\min}^\varepsilon(X|E) \geq H_{\min}(\bar{\rho}_{XE}) = n[1 - \bar{\eta}][1 - \bar{C}(\varphi_{0,1})] - \bar{\eta}. \quad (25)$$

Тогда для длины секретного ключа с учетом (21), (22), (25) находим (ниже $\varepsilon_{EC} = (\varepsilon_\eta + \varepsilon_\zeta)/2$)

$$l_{\text{secr}} \leq n \{1 - \bar{\eta}[1 - \bar{C}(\varphi_{0,1})] - \bar{\eta} - H(\bar{Q} + \zeta)\} - \log(2/\varepsilon_{EC}) - 2 \log(1/2\bar{\varepsilon}). \quad (26)$$

Отметим, что потери в квантовом канале связи не входят в длину секретного ключа (24), (26).

Численные результаты. Конечная цель протокола – получить заданную длину ключа при задаваемых легитимными пользователями параметрах (корректности, секретности протокола и длине передаваемой последовательности N).

Однопроходная схема. Выразим из (15) величину уклонения ζ от параметров корректности ($\varepsilon_{EC} = \varepsilon_\zeta$) и секретности ($\Delta = \bar{\varepsilon} + \varepsilon_\zeta$) протокола ($\zeta = \sqrt{N(k+1) \ln(1/\varepsilon_\zeta)/k^2 n}$) и от наблюдаемого числа ошибок $\bar{Q}N$ в последовательности. Подставляя ее в (24), получаем зависимость длины секретного ключа от параметров корректности, секретности, наблюдаемой ошибки и длины последовательности N .

Двухпроходная схема. Параметры корректности $\varepsilon_{EC} = \varepsilon_\xi + \varepsilon_\zeta$, а параметр секретности протокола $\Delta = \bar{\varepsilon} + \varepsilon_\xi + \varepsilon_\zeta$. Находя из (11) величину уклонения для числа задержанных посылок ξ ($\xi = \sqrt{\ln(1/\varepsilon_\xi)/N}$) и наблюдаемого числа ошибок ζ ($\zeta = \sqrt{N(k+1) \ln[1/(\varepsilon_\xi + \varepsilon_\zeta)/k^2 n]}$) и затем подставляя их в (24), получаем зависимость длины секретного ключа от параметров протокола.

Пусть длина передаваемой последовательности N фиксирована. Тогда чем меньше параметры секретности и корректности (более жесткие требования), тем больше разброс оценки для величины уклонения параметров от их истинных значений. Оценка уклонения для параметра ξ для ошибки пропорциональна логарифму от обратной величины параметров секретности $\bar{\varepsilon}$ и ε_{EC} . Это означает, что чем меньше величины параметров секретности, тем более консервативной (занышенной) является оценка величины ошибки и доли задержанных состояний (для двухпроходной схемы). Большие значения этих параметров подра-

зумевают завышение информации Евы, которую она получает при вторжении в квантовый канал связи. Важно отметить, что при конечных длинах последовательностей существует некоторая их минимальная критическая длина, начиная с которой вообще можно сгенерировать секретный ключ (рис. а и с). Кроме того, чем меньше длина переданной последовательности, тем больше ошибка в оценке параметров. Это также приводит к завышению информации Евы по отношению к асимптотическому пределу бесконечных последовательностей. Отсюда также автоматически следует, что длина секретного ключа обращается в нуль при меньших по сравнению со значениями в асимптотическом пределе бесконечных последовательностей значениях вероятности ошибки и доли задержанных состояний (рис. д).

Заключение. Итак, найдены критерии секретности ключей для случая конечных последовательностей для релятивистской квантовой криптографии. Ненулевая длина ключа может быть получена (в зависимости от параметров корректности и секретности), только если длина передаваемой последовательности превышает некоторую величину. Система обеспечивает секретность ключей даже при не строго однофотонном источнике и произвольных потерях в канале связи, которые не входят в длину секретного ключа.

Выражаю благодарность коллегам по Академии криптографии Российской Федерации за постоянную поддержку. Работа частично поддержана проектом РФФИ # 11-02-00455.

1. W. K. Wootters and W. H. Zurek, *Nature* **299**, 802 (1982).
2. C. H. Bennett, *Phys. Rev. Lett.* **68**, 3121 (1992).
3. S. N. Molotkov and D. I. Pomozov, *Relativistic No-Cloning Theorem, NATO Series for Peace and Security, Information and Communication Security* (ed. by M. Zhukowski, S. Kilin, and J. Kowalik), IOS Press, Amsterdam, Berlin, Oxford, Washington, 2007, v.11, p. 31.
4. V. Scarani, H. Bechmann-Pasquinucci, N. J. Cerf et al., *Rev. Mod. Phys.* **81**, 1301 (2009).
5. С. Н. Молотков, *ЖЭТФ* **139**, 429 (2011); Письма в *ЖЭТФ* **94**, 504 (2011).
6. C. H. Bennett and G. Brassard, *Proc. of IEEE Int. Conf. on Comput. Sys. and Sign. Proces.*, Bangalore, India, 1984, p. 175.
7. L. Lydersen, C. Wiechers, C. Wittmann et al., *Nature Photonics* **4**, 686 (2010).
8. I. Gerhardt, Q. Liu, A. Lamas-Linares et al., arXiv/quant-ph: 10110105.
9. С. Н. Молотков, *ЖЭТФ* **141**, 812 (2012).
10. H.-K. Lo and H. F. Chau, *Science* **283**, 2050 (1999).
11. P. Shor and J. Preskill, *Phys. Rev. Lett.* **85**, 441 (2000).
12. V. Scarani and R. Renner, *Phys. Rev. Lett.* **100**, 200501 (2008); arXiv/quant-ph: 08060120.
13. M. Tomamichel, C. C. Wen Lim, N. Gisin, and R. Renner, *Nature Communications* **3**, 634 (2011).
14. R. Renner, *Security of Quantum Key Distribution*, PhD Thesis, ETH Zürich, Dec. 2005; arXiv/quant-ph: 0512258.
15. W. Heisenberg, *Zeit. für Phys.* **43**, 172 (1927).
16. H. P. Robertson, *Phys. Rev.* **34**, 163 (1929).
17. D. Deutsch, *Phys. Rev. Lett.* **50**, 631 (1983).
18. K. Kraus, *Phys. Rev. D* **35**, 3070 (1987).
19. H. Maassen and J. B. M. Uffink, *Phys. Rev. Lett.* **60**, 1103 (1988).
20. J. M. Renes and J.-C. Boileau, *Phys. Rev. Lett.* **103**, 020402-1 (2009).
21. M. Berta, M. Christandl, R. Colbeck et al., arXiv/quant-ph: 0909.0950.
22. M. Tomamichel and R. Renner, arXiv/quant-ph: 1009.2015.
23. R. König, R. Renner, and C. Schaffner, arXiv/quant-ph: 08071338.
24. M. Nielsen and I. Chuang, *Quantum Computation and Quantum Information*, Cambridge Univ. Press, Cambridge, 2000.
25. D. R. Stinson, *On the Connections Between Universal Hashing, Combinatorial Designs and Error-Correcting Codes*, ECCC TR95-052, Electronic Colloquium on Computational Complexity – Reports Series, 1995.
26. J. L. Carter and M. N. Wegman, *J. Comp. Syst. Sci.* **18**, 143 (1979).
27. W. Hoeffding, *J. Amer. Statistical Assoc.* **58**, 13 (1963).
28. R. J. Serfling, *Ann. Stat.* **2**, 39 (1974).
29. В. К. Леонтьев, *Избранные задачи комбинаторного анализа*, М.: Изд-во МГТУ, 2001.
30. C. H. Bennett, G. Brassard, C. Crepeau, and U. M. Maurer, *IEEE Trans. on Inf. Theory* **41**, 1915 (1995).
31. M. Tomamichel, C. Schaffner, A. Smith, and R. Renner, arXiv/quant-ph: 10022436.
32. А. С. Холево, *Квантовые системы, каналы, информация*, М.: МЦМО, 2010, с. 327.